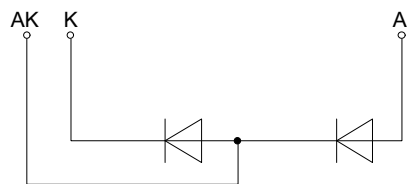
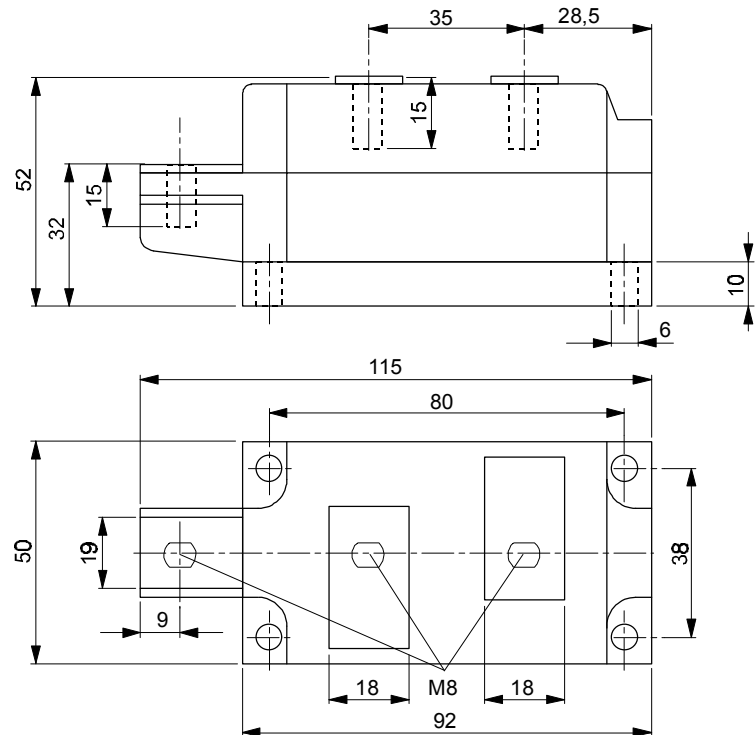


European Power-
Semiconductor and
Electronics Company
GmbH + Co. KG

Marketing Information DD 350 N

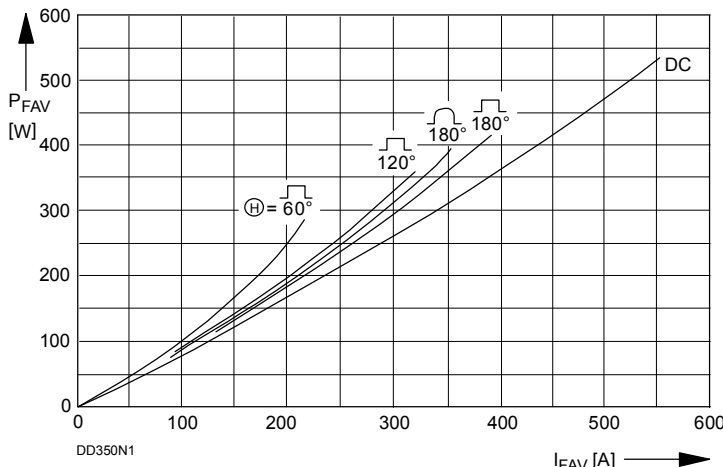


DD 350 N

Elektrische Eigenschaften	Electrical properties					
Höchstzulässige Werte	Maximum rated values					
Periodische Spitzensperrspannung	repetitive peak reverse voltage	$t_{vj} = -40^\circ\text{C} \dots v_{j \max}$		V_{RRM}	600, 800, 1000, 1200, 1400, 1600, 1800	V
Stoßspitzensperrspannung	non-repetitive peak reverse voltage	$t_{vj} = +25^\circ\text{C} \dots v_{j \max}$		V_{RSM}	700, 900, 1100, 1300, 1500, 1700, 1900	V
Durchlaßstrom-Grenzeffektivwert	RMS forward current			I_{FRMSM}	550	A
Dauergrenzstrom	mean forward current	$t_c = 100^\circ\text{C}$		I_{FAVM}	350	A
Stoßstrom-Grenzwert	surge forward current	$t_{vj} = 25^\circ\text{C}, t_p = 10 \text{ ms}$		I_{FSM}	13	kA
Grenzlastintegral	$I^2 t$ -value	$t_{vj} = t_{vj \max}, t_p = 10 \text{ ms}$		$I^2 t$	11	kA
		$t_{vj} = 25^\circ\text{C}, t_p = 10 \text{ ms}$			845×10^3	A ² s
		$t_{vj} = t_{vj \max}, t_p = 10 \text{ ms}$			605×10^3	A ² s
Charakteristische Werte	Characteristic values					
Durchlaßspannung	forward voltage	$t_{vj} = t_{vj \max}, i_F = 1 \text{ kA}$		V_F	max. 1,28	V
Schleusenspannung	threshold voltage	$t_{vj} = t_{vj \max}$		$V_{T(TO)}$	0,75	V
Ersatzwiderstand	forward slope resistance	$t_{vj} = t_{vj \max}$		r_T	0,4	mW
Sperrstrom	reverse current	$t_{vj} = t_{vj \max}, V_R = V_{RRM}$		i_R	max.30	mA
Isolations-Prüfspannung	insulation test voltage	RMS, f= 50 Hz, t = 1 min		V_{ISOL}	3	kV
		RMS, f= 50 Hz, t = 1 sec		V_{ISOL}	3,6	kV
Thermische Eigenschaften	Thermal properties					
Innerer Wärmewiderstand	thermal resistance, junction to case	pro Modul/per module, Q = $180^\circ \text{ sin } R_{thJC}$			max.0,065	°C/W
		pro Zweig/per arm, Q = 180° sin 			max.0,130	°C/W
		pro Modul/per module, DC			max.0,062	°C/W
		pro Zweig/per arm,DC			max.0,124	°C/W
Übergangs-Wärmewiderstand	thermal resistance, case to heatsink	pro Modul/per module		R_{thCK}	max.0,02	°C/W
		pro Zweig/per arm			max.0,04	°C/W
Höchstzul.Sperrsichttemperatur	max. junction temperature	$t_{vj \max}$			150	°C
Betriebstemperatur	operating temperature	$t_{c \text{ op}}$			-40...+15	°C
Lagertemperatur	storage temperature	t_{stg}			0...-40	°C ¹⁾
Mechanische Eigenschaften	Mechanical properties					
Gehäuse, siehe Seite	case, see page					1
Si-Element mit Druckkontakt	Si-pellet with pressure contact					
Innere Isolation	internal insulation					AIN
Anzugsdrehmoment für mechanische Befestigung	mounting torque	Toleranz/tolerance +/- 15%		M1	5	Nm
Anzugsdrehmoment für elektrische Anschlüsse	terminal connection torque	Toleranz/tolerance +5%/-10%		M2	12	Nm
Gewicht	weight			G	typ. 800	g
Kriechstrecke	creepage distance				17	mm
Schwingfestigkeit	vibration resistance	f = 50 Hz			50	m/s ²

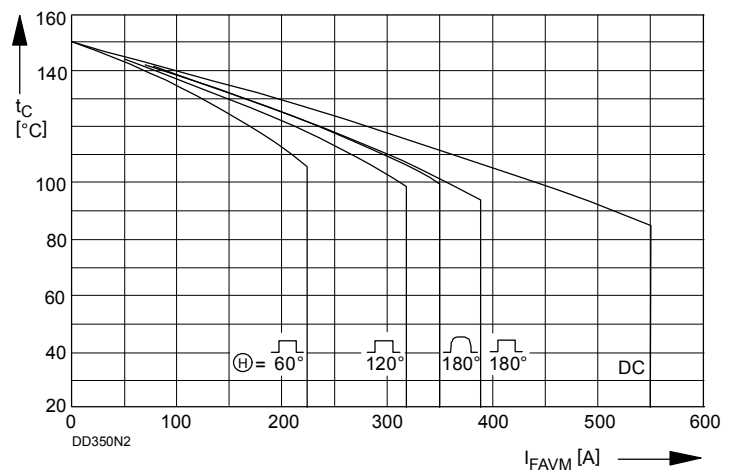
¹⁾ Gemäß DIN IEC 749 mit 747-1 gilt eine Zeitbegrenzung von 672 h. Für die im Betrieb auftretende Gehäsetemperatur gilt keine zeitliche Begrenzung./

According to DIN IEC 749 with 747-1 a time-limit of 672 h is defined. There is no time-limit set for case temperature during operation.



Bild/Fig. 1

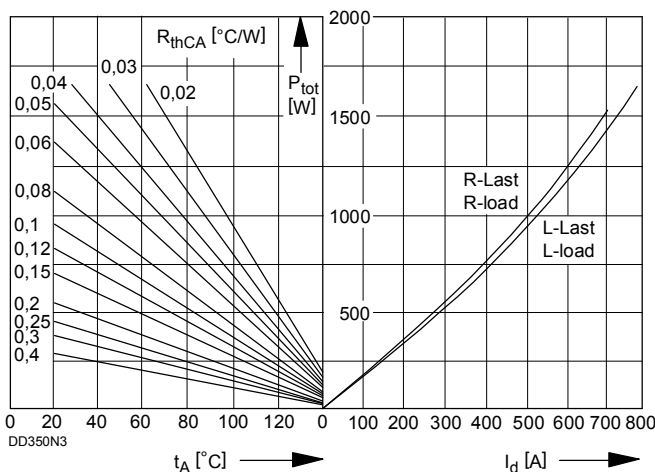
Durchlaßverlustleistung je Zweig / On-state power loss per arm $P_{FAV} = f(I_{FAV})$
Parameter: Stromflußwinkel / current conduction angle θ



Bild/Fig. 2

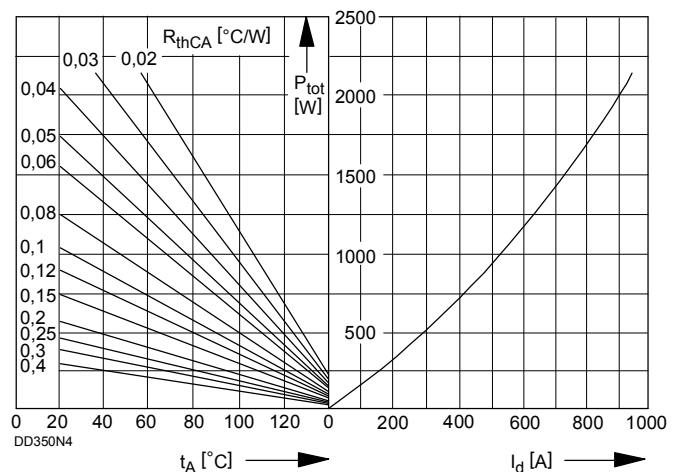
Höchstzulässige Gehäusetemperatur t_C in Abhängigkeit vom Zweigstrom
Maximum allowable case temperature t_C versus current per arm

Parameter: Stromflußwinkel / current conduction angle θ



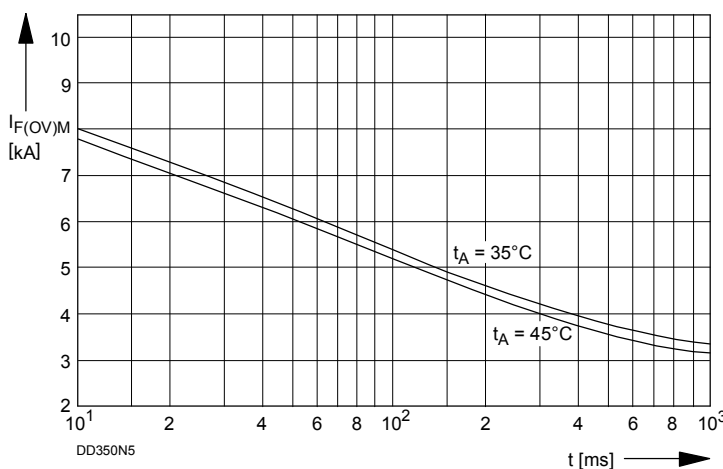
Bild/Fig. 3

B2 - Zweiipuls-Brückenschaltung. Höchstzulässiger Ausgangstrom I_d in Abhängigkeit von der Umgebungstemperatur t_A .
B2 - Two-pulse bridge circuit. Maximum allowable output current I_d versus ambient temperature t_A .
Parameter: Wärmewiderstand zwischen Powerblock und Umgebung/
thermal resistance case to ambient R_{thCA}



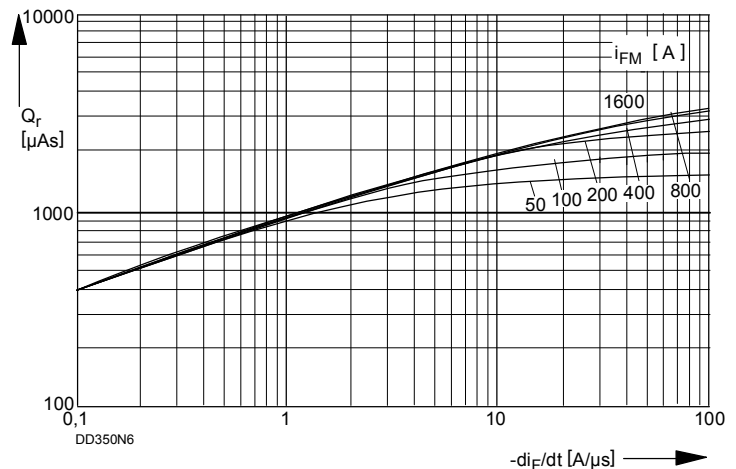
Bild/Fig. 4

B6 - Sechspuls-Brückenschaltung. Höchstzulässiger Ausgangstrom I_d in Abhängigkeit von der Umgebungstemperatur t_A .
B6 - Six-pulse bridge circuit. Maximum allowable output current I_d versus ambient temperature t_A .
Parameter: Wärmewiderstand zwischen Powerblock und Umgebung/
thermal resistance case to ambient R_{thCA}



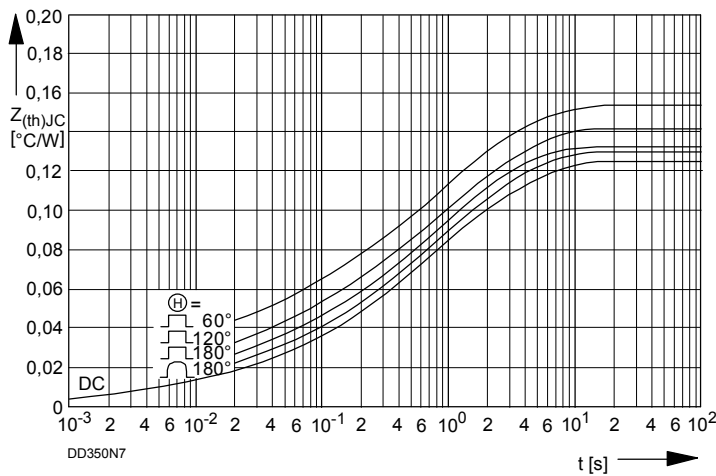
Bild/Fig. 5

Grenzstrom je Zweig $I_{F(OV)M}$ bei Luftselbstkühlung, $t_A=45^\circ\text{C}$ und verstärkter
Luftkühlung, $t_A=35^\circ\text{C}$, Belastung nach Leerlauf, $V_{RM} = 0.8 V_{RRM}$.
Limiting overload on-state current per arm $I_{F(OV)M}$ at natural ($t_A=45^\circ\text{C}$) and forced
($t_A=35^\circ$) cooling, current surge under no-load conditions,
 $V_{RM} = 0.8 V_{RRM}$.



Bild/Fig. 6

Sperrverzögerungsladung / Recovered charge $Q_r = f(-di/dt)$
 $t_{vj} = t_{vj \max}$, $V_R \leq 0.5 V_{RRM}$, $V_{RM} = 0.8 V_{RRM}$
Parameter: Durchlaßstrom / Forward current i_{FM}



Bild/Fig. 7

Transienter innerer Wärmewiderstand / Transient thermal impedance $Z_{(th)JC}$.
Parameter: Stromflußwinkel / current conduction angle θ

Analytische Elemente des transienten Wärmewiderstandes Z_{thJC} pro Zweig für DC
Analytical elements of transient thermal impedance Z_{thJC} per arm for DC

Pos. n	1	2	3	4	5	6	7
$R_{thn} [\text{°C/W}]$	0,0031	0,0097	0,0257	0,0429	0,0426		
$\tau_n [\text{s}]$	0,0009	0,008	0,11	0,61	3,06		

Analytische Funktion / Analytical function:

$$Z_{thJC} = \sum_{n=1}^{n_{\max}} R_{thn} (1 - e^{-\frac{t}{\tau_n}})$$